

z. B. das erste Pinakoid (Fig. 76) in 1. Pedion $\{100\}$ und 1. Pedion $\{\bar{1}00\}$. Jede Richtung ist vektoriell (heteropolar).

Beispiele für das trikline System.

Fig. 84. Periklin. Pinakoidal. $P\{001\}$; $M\{010\}$; $T\{110\}$; $L\{1\bar{1}0\}$; $x\{10\bar{1}\}$.

Fig. 85. Kupfervitriol. Pinakoidal. $a \{100\}$; $b \{010\}$; $c \{001\}$; $d \{110\}$; $p' \{1\bar{1}0\}$; $o' \{1\bar{1}\bar{1}\}$.

Fig. 86. Axinit. Pinakoidal. $o \{111\}$; $o' \{1\bar{1}\bar{1}\}$; $p \{110\}$; $p' \{1\bar{1}0\}$; $s \{201\}$.

Fig. 86a. Stereographische Projektion der Fig. 86 unter Hinzunahme von
 $a\{100\}$.

Fig. 87. Saures rechtsweinsaures Strontium. Pedial. $a \{100\}$; $a' \{100\}$; $\{010\}$; $b' \{\bar{0}10\}$; $c \{001\}$; $c' \{\bar{0}01\}$; $f \{10\bar{1}\}$; $u \{12\bar{2}\}$.

Fig. 88. Anorthit. Pinakoidal. Kopfbild senkrecht Achse a . $k \{100\}$;

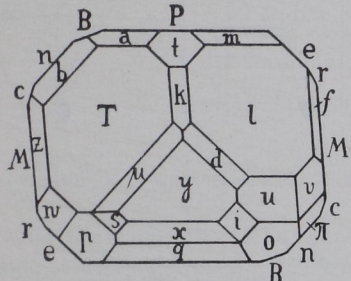


Fig. 88. Anorthite.

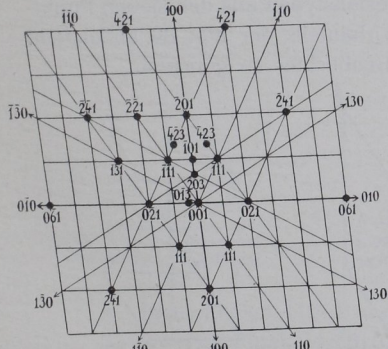


Fig. 88 b. Gnomonische Projektion von Fig. 88.

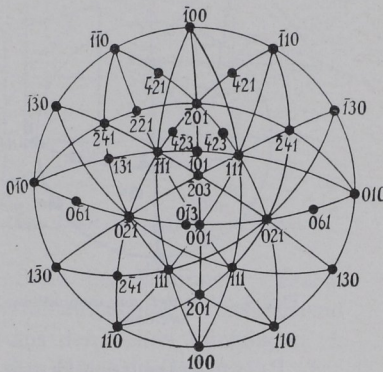


Fig. 88a. Stereographische Projektion von Fig. 88.

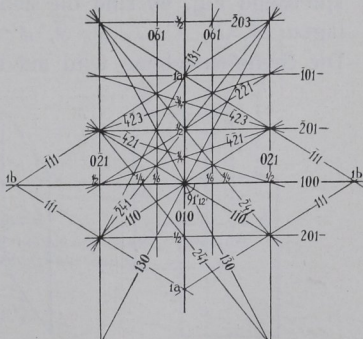


Fig. 88 c. Linearprojektion von Fig. 88.